

“دراسة تأثير طائق النمذجة اللاخطية لجدار القص على سلوك الجملة الثانية تحت تأثير الأحمال الجانبية”

سوزان عبدالله حاج سليمان^{1*} هالة توفيق حسن² عمار كعadan³

^{1*}. طالبة دكتوراه، مهندسة في قسم الهندسة الإنسانية الزلزالية، المعهد العالي للبحوث والدراسات الزلزالية، جامعة دمشق، سورية.

E-mail: suzan.suliman@damascusuniversity.edu.sy

². أستاذ، دكتور، مهندس في قسم الهندسة الإنسانية الزلزالية، المعهد العالي للبحوث والدراسات الزلزالية، جامعة دمشق، سورية.

E-mail: hala.hasan@damascusuniversity.edu.sy

³. أستاذ، دكتور، مهندس في قسم الهندسة الإنسانية، كلية الهندسة المدنية، جامعة حلب، سورية.

E-mail: dr.a.kaadan@alepuniv.edu.sy

الملخص:

تُعد الجملة الثانية من أهم الجمل الإنشائية المقاومة للأحمال الجانبية (الزلزالية)، وأكثرها شيوعاً، ويتتحقق العمل المشترك الجيد للإطارات والجدران والجدران والفهم الصحيح لسلوك هذه الجملة، نصل للتصميم الأفضل تحت تأثير الحمولات الزلزالية. لذلك لا بد من اختيار النماذج اللاخطية المناسبة لتمثيل السلوك اللدن الفعلي لعناصر هذه الجملة من إطارات وجدران قص، لذلك تم في هذا البحث دراسة جملة ثانية خرسانية مسلحة (إطار متعدد مقاوم للعزوم + جدار قص خاص) باستخدام برنامج العناصر المحدودة المتتطور ABAQUS، واستخدام برنامج العناصر المحدودة الخاص بالتصميم والتحليل الإنسي ETABS، وفق ثلاثة طائق لتمثيل السلوك اللاخطي لجدار القص، وهي النموذج التفصيلي في برنامج ABAQUS والذي يعتمد على نموذج CDP(Concrete Damage Plasticity) لتثنيل سلوك البيتون، ونموذجين في برنامج ETABS نموذج مفصل الألياف (Multi-layered shell element) ،Fiber hinge ، ونموذج القشرة متعددة الطبقات (Multi-layered shell element) ، وذلك للتحقق من تأثير اختيار النموذج اللاخطي لجدار القص على سلوك الجملة الثانية واختيار النموذج الأفضل.

تمت دراسة جملة ثانية مكونة من خمسة طوابق، تساهم فيها الإطارات بتحمل 29% من قوة القص الإجمالية، بتغيير النموذج اللاخطي المعتمد في تمثيل السلوك اللاخطي لجدار القص (النموذج التفصيلي) (Micro model)، نموذج مفاصل الألياف (Fiber hinge)، نموذج عنصر القشرة متعدد الطبقات (Multi-layered shell element) وتمت دراسة النماذج بتأثير حمل دفع جانبي باستخدام التحليل الاستاتيكي اللاخطي، كما تم رسم منحني قوة جانبية-انقال جانبي، ورصد أماكن تشكل المفاصل اللدنة، وقيم الإجهادات. تم حساب عامل تعديل الاستجابة للنموذج الأفضل ومقارنته مع قيم الكودات. أظهرت النتائج قدرة نموذج عنصر القشرة متعدد الطبقات على تمثيل السلوك الفعلي للجدار، وبالتالي السلوك الفعلي للجملة الثانية، بالإضافة لتوفيره في كلفة وجهد التحليل وخاصة عند الحاجة لنمدجة منشآت بالمقياس الكامل، كما تمت نموذج بالدقة وسهولة التعامل مع المخرجات والإستقدادة منها وخاصة عند حساب عامل تعديل الاستجابة.

الكلمات المفتاحية: الجملة الثانية، الإطارات البتونية المسلحة، الجدران القصية البتونية المسلحة، طريقة العناصر المحدودة، النمذجة اللاخطية، القشرة متعددة الطبقات، عامل تعديل الاستجابة.

تاريخ الإيداع: 2024/2/4

تاريخ القبول: 2024/4/29



حقوق النشر: جامعة دمشق -

سورية، يحتفظ المؤلفون بحقوق

النشر بموجب CC BY-NC-SA

Studying the Effect of Nonlinear Modeling Methods of Shear Wall on the Behavior of Dual System under Lateral Loads

Suzan Abdullah Haj Suliman*¹ Hala Tawfiq Hasan²
Ammar Kaadan³

*¹. PHD student, Eng of Seismic Structural Engineering Department, Higher Institute of Earthquake Studies & Research - University of Damascus, Syria

E-mail: suzan.suliman@damascusuniversity.edu.sy

². Professor of Seismic Structural Engineering Department Higher Institute of Earthquake Studies & Research - University of Damascus, Syria
E-mail: hala.hasan@damascusuniversity.edu.sy

³. Professor, Department of Structural Engineering, Faculty of Civil Engineering, University of Aleppo, Syria.
E-mail: dr.a.kaadan@alepuniv.edu.sy

ABSTRACT:

Dual systems are crucial for resisting seismic loads, and their optimal design relies on the interaction between frames and walls. This paper studies the RC dual system using the advanced finite element program ABAQUS and the finite element program for structural analysis and design ETABS. Three models were used: the detailed model according to ABAQUS, based on the CDP (Concrete Damage Plasticity), and two models in the ETABS program, the fiber hinge model and the multi-layered shell element model. A five-story 2D building with dual systems was modeled and analyzed, with frames contributing 29% of the total shear force. The models were analyzed under lateral loads using nonlinear static analysis, and a capacity curve was drawn to compare plastic hinge locations and stresses values. The response modification factor for the optimal model was calculated and compared with code values. The results showed that the multi-layer shell element model effectively represents the nonlinear behavior of shear walls and dual systems, but it also has a brevity and cost-effectiveness, especially for 3D buildings.

Key words: Dual Systems, RC frames, RC Shear walls, Finite element method (FEM), Nonlinear Modeling, Multi-Layered shell element, Response Modification Factor.

Received: 4/2/2024

Accepted: 29/4/2024



Copyright: Damascus University- Syria, The authors retain the copyright under a CC BY- NC-SA

دراسة تأثير طائق النمذجة اللاخطية لجدار القص على سلوك الجملة
Slimian, Hossen and Kudan
وببرامج التحليل والتصميم الإنساني، والتأكيد على أهمية
معيار كلفة و زمن التحليل ضمن حدود الدقة المطلوبة، كما
يهدف إلى دراسة تأثير تغيير طريقة النمذجة اللاخطية على
سلوك الجملة الثانية المدروسة تحت تأثير الحمولات الجانبية
المطبقة.

المقدمة :

تعتبر الجملة الثانية (إطارات+جدران قص) من أكثر الجمل
الإنسانية شيوعاً لمقاومة الحمولات الزلزالية، وخاصة في الأبنية
المرتفعة، لما لها من ميزات حيث تتمتع جدران القص بكفاءة
عالية في مقاومة الحمولات الأفقيّة، وتؤمن الإطارات مطاوحة
كافية للمبني، وبتحقيق السلوك المشترك الجيد للإطارات
والجدران والفهم الصحيح لهذا السلوك، نصل للتصميم الأمثل
للانظمة الإنسانية المقاومة للحملات الزلزالية.

بعد اختيار النموذج اللاخطي المناسب لجدار القص من أكبر
التحديات التي تواجه الدارسين والمصممين الإنسانيين، حيث إن
إختيار نموذج غير مناسب قد لا يمثل السلوك الفعلي لجدار
القص، وبالتالي لا يمكن عكس السلوك الحقيقي للجملة الثانية،
ولا يتحقق الفهم الصحيح لسلوك هذه الجمل، كما أظهرت العديد
من الدراسات الأثر الكبير لإختيار طريقة النمذجة اللاخطية
لجدار القص في تحسين السلوك الزلزالي للجملة الثانية
البيتونية المسلحة.

1- أهمية البحث وأهدافه (Objective) :

كما قام Kabeyasawa et al (1984) بتطوير هذا النموذج،
واختبر السلوك اللاخطي لنموذج جدار قصي بسبعة طوابق،
وفرض نموذج جديد لتمثيل السلوك اللاخطي لجدار-Three-
vertical-line-element-model(TVLEM) كان هذا النموذج
قادراً على اعتبار الإختلاف في موقع المحور المحايد، وتفاعل
الجدار مع عناصر الإطار الأخرى، مع التتبُّؤ بالاستجابات
المحلية مثل الإزاحة الجانبية، والقص القاعدي، والدوران عند
نهائيات الجوانز، والتي كانت متواقة بشكل مناسب مع النتائج
التجريبية.

كما استخدم Smith and Grgis (1984) لأول مرة
الجوائز الشبكية لمحاكاة سلوك جدران القص.

تأتي أهمية هذا البحث في اختبار العديد من النماذج اللاخطية
لتمثيل سلوك الجدران القصية وفق العديد من برامج العناصر
المحدودة البحثية، وبرامج التحليل والتصميم الإنساني المعروفة،
وتحديد النموذج الأدق في عكس السلوك المعقد لجدار القص
ضمن الجملة الثانية، وذلك ببناء نموذج عددي لجملة ثانية
مؤلفة من إطار متوسط وجدار قص خاص وذلك بالإعتماد
على طريقة العناصر المحدودة وباستخدام برنامجي
(ABAQUS2019)، (ETABS20.3) وفق التحليل الاستاتيكي
اللاخطي، حيث يهدف البحث الحالي إلى اختيار طريقة
النمذجة اللاخطية الأفضل لجدار القص البيוני المسلح،
ويهدف للمقارنة بين نتائج النمذجة باستخدام البرامج البحثية

دراسة تأثير طائق النمذجة اللاخطية لجدار القص على سلوك الجملة
سليمان، حسن وکعдан

قام Kabeyasawa(1997) باقتراح النموذج المعدل Modified model of a three-vertical-line-element model(TVLEM)، حيث قام الباحث باستبدال التوابع الوسطية الأفقية والشاقولية في النموذج الأصلي بعناصر صفائحية مستوية لخطية، بينما بقيت النواييس الطرفية الشاقولية كما هي في النموذج الأصلي.

استخدم Chen et al (2000) محاكاة عنصر الصفيحة اللاخطي المستوى لممثل السلوك اللاخطي للجدار، حيث اعتمد في النموذج عنصرين مستويين لخطيين، أحدهما متماثل الشروط (isoperimetric) والآخر غير متماثل الشروط (incompatible).

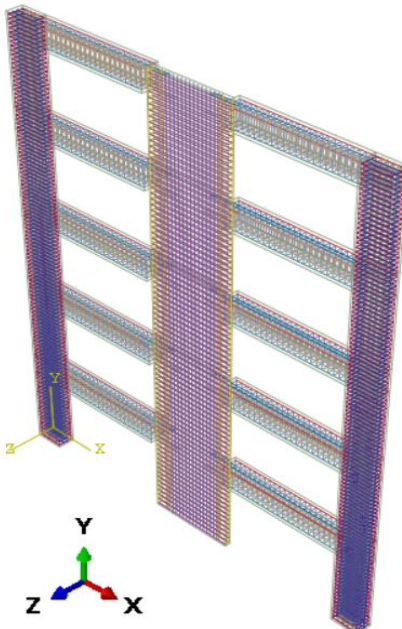
وفي عام (2007) قام الباحث نفسه باختبار هذا النموذج على جملة (إطار - جدار) بالمقاييس الكامل لنموذج بستة طوابق. نتيجةً لتطور العلوم الهندسية وتطور نظرية العناصر المحدودة، وظهور العديد من البرامج المعتمدة عليها والقادرة على تمثيل سلوك معظم عناصر المنشآت، حالياً، أصبح لدينا العديد من برامج العناصر المحدودة التي تمكن الباحثين والمصممين من الوصول إلى استجابة دقيقة لسلوك العناصر، حيث قام الباحثون Kolozvari et al (2019) بالتحقق من سلوك جدار القص، باستخدام خمس برامج تعتمد على نظرية العناصر المحدودة VectoR2, SAFE, DIANA, QLMEDD .and LS-DYNA.

كما ظهرت طريقة أخرى للعناصر المحدودة، تدعى طريقة الألياف FIBER يتم فيها تقسيم العناصر شاقولياً لمجموعة من الألياف أو الطبقات المتوازية، وكل ليف يمكن أن يمثل مادة جديدة، حيث استخدم الباحثون Belmouden and Lestuzzi (2007) هذه الطريقة لممثل السلوك اللاخطي لجدار القص البيتوني المسلح تحت تأثير حمل دوري معكوس.

في عام(2016) ظهرت طريقة جديدة لممثل السلوك اللاخطي لجدار القص باستخدام عنصر القشرة متعدد الطبقات(Multi-layered shell element) حيث قام الباحثان ،

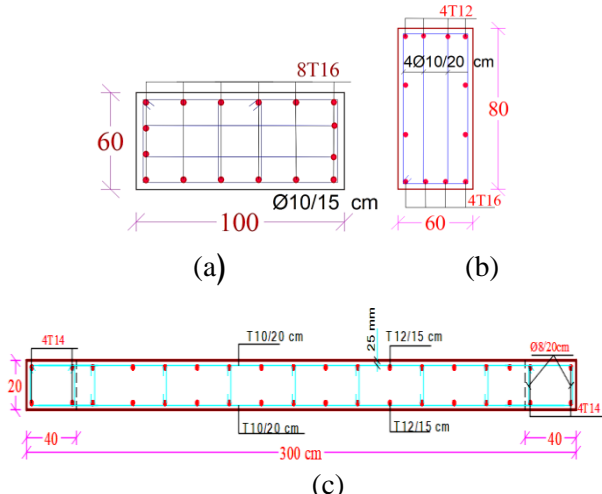
قام الباحثان Mousavi, Tariverdilo (2020) بتعريف ثلاثة نماذج رقمية لممثل السلوك اللاخطي لجدار القص، نموذج القشرة ذات الطبقات المتعددة، ونموذج عنصر الخط العمودي المتعدد(MVLE)، ونموذج مقطع الألياف باستخدام البرامج Open Sees و AP2000 على التوالي، حيث تم أولاً إجراء دراسة بارامترية لتقييم تأثير حجم الشبكة والعنصر على الإستجابات العامة والمحليّة لكل نموذج. ثم تمت مقارنتها مع نتائج الاختبار التجاري لجدار قص بيتوني مسلح نموذجي من الدراسات السابقة. أظهرت النتائج أن جميع النماذج، بغض النظر عن حجم الشبكة، توفر استجابة دقيقة نسبياً لنتائج منحني حمولة-إنقال العام بينما تختلف النتائج بالنسبة لقيم الانفعالات المحلية.

قام الباحثون Papanikolaou, Vassilis, et al (2021) بدراسة لتطوير عنصر القشرة متعدد الطبقات المستخدم لممثل السلوك اللاخطي لجدران القص الخرسانية المسلحة، تم تعينين القوانين الأساسية الدورية اللاخطية للبيتون والفولاذ لكل طبقة ذات مغلف إجهاد مستوى متماثل المناخي Isotropic للبيتون ومتعادل المناخي Orthotropic للفولاذ، اعتماداً على اتجاهها الطولي أو العرضي. ثم تم اشتقاء الانفعالات في كل طبقة على حدة من الانفعالات التجريبية وانحناءات نقطة التكامل المحددة، ثم تم حساب الاجهادات، تم أخيراً اشتقاء القوى وعزوم الانعطاف لكل نقطة تكامل من خلال التكامل العددي لجميع الطبقات، تم التتحقق من صحة الصيغة المذكورة أعلاه باستخدام القانون الأساسي لمختلف تاريخ الانفعالات النمطية والدورية، بهدف ادخالها بشكل كامل في كود العناصر المحدودة للبرنامج المستخدم TOL-RAF.



الشكل(1) نموذج العناصر المحدودة للجملة الثانية المدروسة مع كافة ترتيبات التسلیح الطولی والعرضی.

كما يبيّن الشكل (2) ترتيبات التسلیح الطولی والعرضی ضمن كافة عناصر تلك الجملة، و المقاطع العرضیة، وتفاصيل كل من التسلیح الطولی والعرضی لکافة عناصر النموذج (الإطار(الجوانز، الأعمدة)- جدار القص).



الشكل(2) تفاصيل التسلیح والمقطوع العرضیة لعناصر الإطار. (a) عمود - (ب) جائز - (c)المقطع العرضی لجدار القص المدروسا

4- طرائق البحث :Research Methods

قام الباحثون Hussain, Nadeem, et al (2024) بتقدیم مراجعة منهجية ومقارنة للأدیبات حول عوامل الاستجابة الزلزالية وتخلیص المبني المنتظمة وغير المنتظمة على مدى أربعة عقود ونوع الأنظام، ونوع التحلیل، ومكونات عوامل التصمیم الزلزالي، وعدم الانتظام، والحرکات الأرضیة المدخلة، والتحمیل الزلزالي المطبق على المبني. أوصت العدید من الدراسات بتحسين قیم R الموصى بها من قبل الكودات للمبني العادیة بسبب هوا مش السلامة الكافية الملحوظة. بناء على مراجعة عوامل الاستجابة الزلزالية والقيود والتغرات التي تم تحديدها، قدّمت الدراسة أبجاثاً مستقبلیة محتملة تغطي هذه الثغرات.

3- وصف النموذج المدروسا

:Describtion

يبيّن الشكل(1) نموذج العناصر المحدودة للجملة الثانية المدروسة(إطار بفتحة واحدة وجدار قص واحد)، حيث إن مجاز فتحة الإطار 5 m، وارتفاع الطابق 3.25 m، وعدد الطوابق 5 طابق، وطول الجدار 3 m، بسمکة 20cm، والجملة بيتونية مسلحة خصائص المواد فيها:

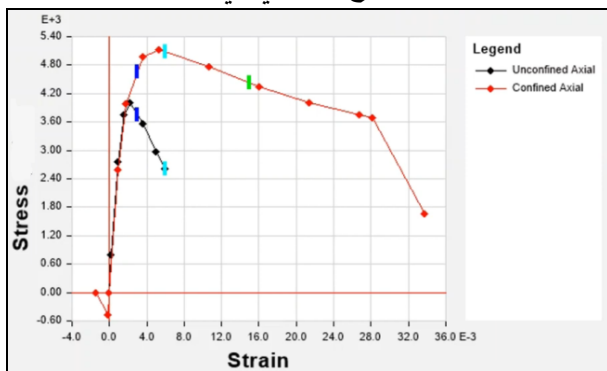
$$f_y=400 \text{ MPa}, f_{ys}=240 \text{ MPa}, f_c=30 \text{ MPa}$$

تم تصمیم وتحقیق عناصر الإطار المتوسط المقاوم للعزوم (IMRF) (جوانز وأعمدة) وجدار القص الخاص وفق اشتراطات الكود العربي السوري، والکود الأمريكي- ASCE7-16، وحسبت نسبة مساهمة الإطار بتحمل قوى القص الزلزالي وكانت 29% وللجدار 71%.

الحمولات المطبقة على الجوانز والجدار :

$$DL=9 \text{ kN/m}, LL=7.5 \text{ kN/m}$$

القص، بسبب وجود التسلیح العرضي في الأعمدة الطرفية.



الشكل (4) منحنى اجهاد -انفعال للبيتون على الشد والضغط وفق .(Berkeley, 2008,CSI) ETABS Mander

- تم تعريف مقاطع الجوائز والأعمدة وتبينها في جميع الحالات المدروسة، كما تم إسناد مفاصل من النوع M_3-V_2 في بداية ونهاية الجوائز، ومفاصل من النوع $P-M_2-M_3$ في بداية ونهاية كل عمود، وذلك لتمثيل السلوك اللاخطي لهذه العناصر.

تم تعريف جدار القص، وتمثيل سلوكه اللاخطي بطرق مختلفة وذلك لتحديد تأثير طريقة نمذجة السلوك اللاخطي للجدار على سلوك الجملة الثانية وذلك كما يلي:

Fiber Element النموذج

تم تعريف جدار القص كعنصر سطحي قليل التخانة Thin Shell بسماكه 20cm وتم تمثيل السلوك اللاخطي للجدار باسناد مفاصل من النوع Auto Fiber Hinge المعنيدة وهي مفاصل تعرف مباشرة من قبل البرنامج من النوع P-M3 وتم اعتماد التسلیح الحقيقي للجدار.

لنموذج Multi-Layered Shell element

تم في هذا النموذج تعريف الجدار كقشرية سميكة بطبقات متعددة، كل طبقة يمكن أن تمثل مادة جديدة بمساحة مختلفة وخصائص مختلفة وببعد مختلف عن الخط الأوسط لقطع الجدار العرضي، تتألف القشرة من مجموعة من الطبقات كل طبقة تمثل جزء من الجدار، حيث تم تقسيم نموذج الجدار لثلاثة أقسام مستطيلة الشكل، وفرض قطع الحدار كمنطقة مساحة

تمت دراسة نموذج الجملة الثانية وفق برنامجي ABAQUS,ETABS، وتم استخلاص النتائج ومقارنتها (منحي قوة جانبية- انتقال جانبي)، عدة أنواع من الإجهادات، من حيثيات الطاقة المبددة، أنماط الإنهايـار).

٤-١- فرضيات المذجة ووصف النموذج التحليلي

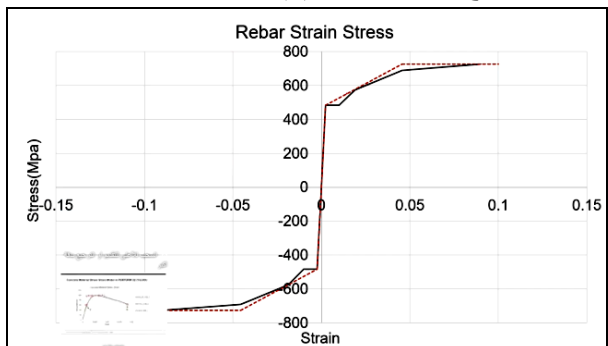
وقتی برنامه ETABS

تمت نمذجة الجملة الثنائية البيتونية المسلحة المدروسة (إطار متوسط- جدار قص خاص) وفق برنامج العناصر المحدودة ETABS,V20.3 يمكن تلخيص أهم نقاط النمذجة وفق ما يلي:

تم تعريف المواد المستخدمة بداخل منحي السلوك المناسب
كما ملء :

:Rebar Model نموذج قضبان التسلیح ✓

تم اعتماد نموذج Park لتمثيل منحني اجهاد -انفعال المحوري للشد والضغط لفولاذ التسليح في برنامج ETABS كما هو موضح بالشكل (3).

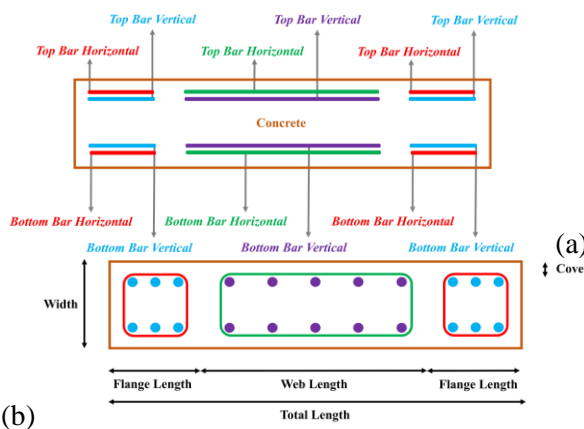


الشكل (3) منحي اجهاد -انفعال وفق Park ببرنامج ETABS .(Berkeley, 2008.CSI)

نموذج البeton Concrete Model

تم اعتماد نموذج Mander لتمثيل سلوك البيتون، والذي يعطي تابعين لتمثيل سلوك البيتون في حالة التطويق وعدمه، كما هو مبين بالشكل(4).

حيث تم اعتماد نموذج البيرتون غير المطوق لجسد جدار القص، وتمأخذ تأثير التطويق في العناصر المحيطية لجدار



الشكل(7) مقطع جدار القص العرضي (a)المقطع الحقيقى (b)، وفق
نموذج الطبقات المتعددة(Mander, 1988, 1804-1826)

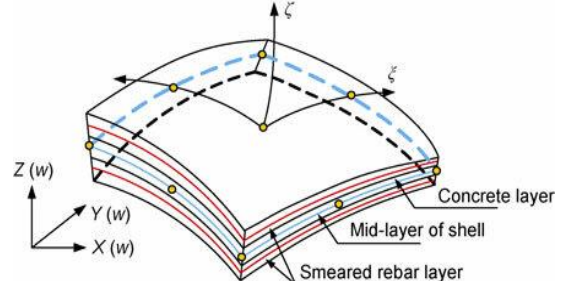
تم تحليل النموذج بالاعتماد على تحليل الدفع المترالي، التحليل الاستاتيكي اللاخطي (PUSHOVER) بإعتماد انتقال هدف 400mm لضمان وصول المنشأ حتى الانهيار، وتم رسم منحني (قوة جانبية-انتقال جانبي) (Pushover Curve)، كما تم تحديد أنماط الإنهاي من خلال عرض آليات تشكل المفاصل في العناصر الإطارية، وقيم الإجهادات في الجدار، كما تم عرض منحنين الطافة الهيستيرية المبددة لكل نموذج (نموذج مفاصل الألياف Fiber Hinge -نموذج الطبقات المتعددة Multi-layered shell element)، وتم تحديد قيم القوى والإجهادات خلال خطوات التحليل لمقارنة النتائج.

2-2- فرضيات النمذجة ووصف النموذج التحليلي :ABAQUS وفق برنامج

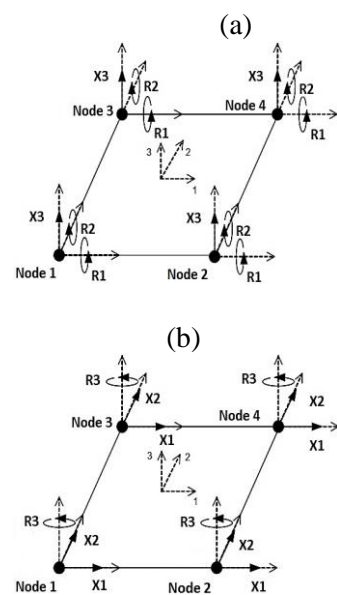
بالاعتماد على كافة التفاصيل التي تم ذكرها في الفقرات السابقة فقد تمت نمذجة الجملة المعتمدة كنموذج ثلاثي البعد 3D ضمن برنامج العناصر المحدودة ABAQUS. يمكن تلخيص أهم نقاط النمذجة وفق ما يلي:

- تمت نمذجة الجوائز والأعمدة وجدار القص بالاعتماد على العنصر المحدود الفراغي المكعبى الخطى من النوع C3D8R

دراسة تأثير طائق النمذجة اللاخطية لجدار القص على سلوك الجملة.....
تنقسم لنوعين، غشائية (Membrane) تولد مخرجات ضمن مستوى الجدار (انتقالين ودوران ضمن هذا المستوى) تمثل القسم الخارجى المتشقق من بيتون الجدار على الوجهين، وصفائحية (Plate) تولد مخرجات خارج مستوى الجدار (انتقال ودورانين) تمثل القسم الداخلى غير المتشقق من بيتون الجدار (القسم资料的)، كما هو مبين بالشكلين (5,6).



الشكل(5) طبقات العنصر لعنصر القشرة متعدد الطبقات
(Berkeley, 2008,CSI)



(a)Membrane, (b)Plate
(Mander, 1988, 1804-1826)

يوضح الشكل(7)الطبقات التي تم تعريفها للمقطع العرضي للجدار، وذلك بإعتماد بيتون مطوق للعناصر الطرفية وبيتون غير مطوق لجسد الجدار، وإعتماد طبقي تسليح أمامية وخلفية بكل منها شبكتين شاقولية وأفقية تعمل كل منها محورياً.

- دراسة تأثير طائق المذجة اللاخطية لجدار القص على سلوك الجملة.....
Slimian, Hossen and Kudan (Solid) والذي يتصف بثمان عقد وبأنه ذو تكامل جزئي Reduced Integration
- تعريف السلوك المرن باعتماد قيمة ثابت بواسون مساوية إلى 0.15 وقيمة لعامل يونغ مساوية إلى MPa 25084، بينما تم تعريف السلوك اللدن باستخدام النموذج المتوفّر ضمن البرنامج المستخدم (Concrete Damage Plasticity) CDP والذي يعرف بأنه نموذج يعتمد على أن الضرب الحاصل متماثل الخواص ضمن المادة، كما أن التدهور بالصلابة المرنة ناتج عن بلوغ المادة تشوهات لدنّة بكل من حالي الضغط والشد (Demir et al., 2018)، ويجدر التنويه إلى أن تعريف القيم ضمن مخططات (الإجهاد-الانفعال) تم بالاعتماد على برنامج جزئي كتب بلغة البرمجة Python وذلك باستخدام علاقات Carreira and Chu, 1985.
- نماذج اللدونة للبيتون المتضرر في ABAQUS والتي يعتمد على أن الضرب الحاصل متماثل الخواص ضمن المادة، كما أن التدهور بالصلابة المرنة ناتج عن بلوغ المادة تشوهات لدنّة بكل من حالي الضغط والشد (Demir, et al., 2018) ويسمح للمستخدم بالتحكم في تأثيرات استعادة القساوة أثناء التحميل الدوري المعكوس؛ يمثل النموذج المستمر للضرر القائم على اللدونة السلوك الميكانيكي للبيتون.
- ويفترض أن آليتي الانهيار الرئيسيتين هما التشقق على الشد والتحطم على الضغط. يتم التحكم في تطور سطح الخضوع (أو الانهيار) من خلال متغيرين يرتبطان بآليات الانهيار تحت تحميل الشد والضغط، على التوالي. يفترض النموذج أن استجابة الشد والضغط أحادية المحور للبيتون اللدن (المتضرر)، كما هو موضح في الشكلين (8,9) حيث يوضح الشكل (8) سلوك الضغط النموذجي ضمن البيتون، بينما يوضح الشكل (9) سلوك الشد النموذجي ضمن البيتون وذلك يالاعتماد على نموذج CDP (ABAQUS, 2019).
- تمت نفذة فولاذ التسليح الطولي والعرضي ضمن كافة عناصر الإطار بالاعتماد على العنصر المحدود الشبكي الخطي (Truss) T3D2 والذي يتصف بأنه عنصر ذو عقدتين (في البداية والنهاية).
 - اعتمد نموذج الإطار المدروس على الترابط التام بين العناصر البنيونية والعناصر الفولاذية وذلك باستخدام الرابط من النوع Embedded region.
 - تم افتراض وجود صفيحة مكان وجود تطبيق الحمل وفق محور الجائز في الطابق الأخير، حيث تم تضمين سلوك تلك الصفيحة ضمن البرنامج كجسم صلب وذلك من خلال استخدام الرابط من النوع Rigid Body، وبوجود نقطة مرجعية تمثل نقطة تطبيق الحمل.
 - لم يتم تقييد الانتقالات والدورانات في النقطة المرجعية سابقة الذكر كون شروط التظاهر في الأبعاد والحمولات والشروط المحيطية تمنع الإطار من التشوهات في مختلف الإتجاهات.
 - لم تتم نفذة أساس أساس الإطار كونه صلباً ومنع من التشوهات، حيث تم تمثيل سلوك الأساس من خلال تقييد جميع النقاط السفلية للإطار (أعمدة وجدار) ومنعها من الانتقالات والدورانات بالاتجاهات الثلاثة.
 - تم تقسيم العناصر البنيونية المسلحة (جوانز، أعمدة، جدار) إلى عدد من العناصر المحدودة الفراغية مكعبية الشكل بلغ 4427 عنصر، بينما تم تقسيم قضبان الفولاذ الطولي والعرضي إلى عدد من العناصر المحدودة شبكة الشكل بلغ 16418 عنصراً.
- بالنسبة لتوصيف المواد فيمكن تلخيصها كما يلي:
- تم تعريف سلوك مادة فولاذ التسليح كسلوك مرن-لدن Elastic- Plastic behavior (3- منحي إجهاد- انفعال وفق Park).
 - تم تعريف سلوك مادة البيتون كقسمين مرن ولدن، حيث تم

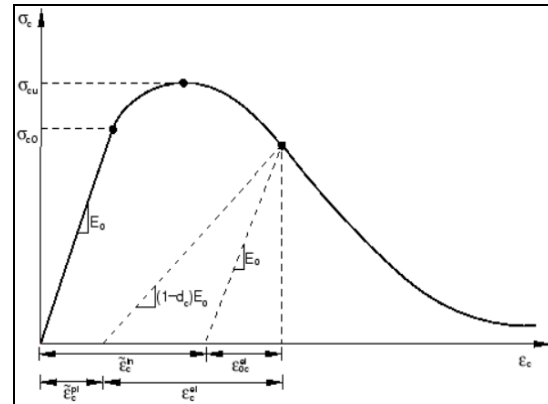
والذي يأخذ لخطية المادة والانتقالات الكبيرة بعين الاعتبار، وذلك باستعمال التحليل من النوع Static, General Analysis.

5- النتائج والمناقشة:

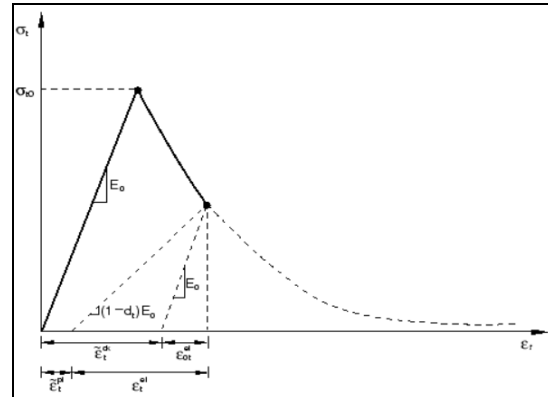
Results and Discussion

بعد القيام بتحليل النماذج المنجزة ضمن برنامج العناصر المحدودة المعتمدين ETABS, ABAQUS، وذلك باعتماد نموذجين ضمن برنامج ETABS، يمثلاً: (نموذج مفاصل Multi-fiber hinge، ونموذج الطبقات المتعددة- الألياف Fiber hinge)، بالإضافة إلى النموذج التفصيلي layered shell element ضمن برنامج ABAQUS Micro model، فقد تم تقسيم آلية عرض النتائج ومناقشتها إلى ثلاثة أجزاء، تم ضمن الجزء الأول رسم منحني القدرة Capacity curve والذي هو عبارة عن علاقة تربط بين القوة الجانبية المتزايدة المطبقة على النموذج والانتقال الجانبي للطابق الأخير ومقارنته بين النماذج الثلاثة المنجزة، بينما تناول الجزء الثاني مقارنة قيم عدة أنواع من الإجهادات بين النماذج المدروسة، حيث تم قراءة الإجهادات ضمن كل من الびتون وقضبان التسليح عند قيم محددة من الانتقالات الأفقية (50, 100, 150, 200, 250) mm ميسز والإجهادات الناظمية ضمن الجدار الびطوني والإجهادات المحورية ضمن قضبان التسليح، وأما الجزء الأخير من النتائج فشمل مقارنة منحنيات الطاقة المبددة التراكمية بين مختلف النماذج، حيث تم التركيز على الطاقة المبددة نتيجة دخول العناصر الإنشائية ضمن مرحلة اللدونة Plastic، كما تم حساب عامل تعديل الإستجابة ومقارنته dissipation) بقيم الكودات.

يبين الشكل (10) مقارنة منحني القدرة بين النماذج الثلاثة المدروسة، حيث يلاحظ التطابق الكامل بين النموذج التفصيلي ونموذج الطبقات المتعددة وصولاً لقيمة لالانتقال الأفقي مساوية لـ 100 mm، ومن ثم يلاحظ التدهور الواضح في منحني القدرة



الشكل (8) مخطط الإجهاد-الانفعال بحالة الضغط ضمن الびتون، (Demir, et al., 2018)

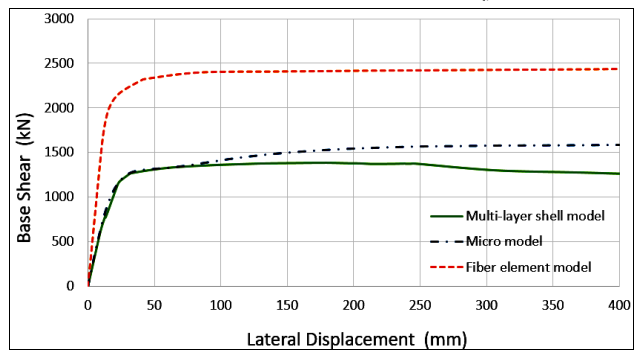


الشكل(9) مخطط الإجهاد-الانفعال بحالة الشد ضمن الびتون ، (Aydin et al., 2018)

بالنسبة لتعريف الحمولات وطريقة التحليل المعتمدة فيمكن تلخيصها كما يلي:

- تم إدخال الوزن الذاتي لعناصر النموذج من خلال اعتماد قيمة للجانبية الأرضية متساوية إلى 9810 mm/sec² وباعتبار كثافة الびتون متساوية إلى 2.4e-9 ton/mm³.
- تم تطبيق الحمولات الميتة والحياة على الجوانز كحمولات في واحدة السطح، كما تم تطبيق الحمولات ذاتها على الجدار القصي في كل طابق كحمولات في واحدة الحجم.
- تم تطبيق حمولة دفع متزايدة ضمن النقطة المرجعية وفق محور الجائز في الطابق الأخير وصولاً لقيمة الانتقال الهدف .400 mm
- تم إجراء تحليل لخطي (Materially Non-Linear) لبيان تأثير طائق النمذجة اللاخطية على سلوك الجملة.

دراسة تأثير طائق النمذجة اللاخطية لجدار القص على سلوك الجملة.....
باعتبار نموذج الطبقات المتعددة وفق برنامج ETABS بخلاف
النموذج التفصيلي وفق برنامج ABAQUS الذي لم يعطي أي
تدهور في المنحني، وبالعودة إلى نموذج مفاصل الألياف
فلاحظ ابتعاد منحني القدرة عن الحالتين السابقتين، سواء ضمن
مرحلة المرونة أو اللدونة، مما يعطي مؤشر على عدم دقة هذا
النموذج، وعدم صلاحيته لنمذجة السلوك اللاخطي لجدار
القص البيتونية المسلحة ، لعدمأخذ تأثير القص والعزز وأخذ
السلوك المحوري فقط.



الشكل (10) مقارنة منحنيات القدرة (علاقة قوة قص-انتقال جانبي) بين
مختلف النماذج الثلاثة المدروسة

ومن أجل تبرير النتائج السابقة بشكل أفضل فقد تم استعراض
قيم الإجهادات في النماذجين (النموذج التفصيلي ونموذج
الطبقات المتعددة)، حيث يبين الجدول (1) قيم (إجهادات فون
ميسز، الإجهادات الناظمية، والإجهادات المحورية) وذلك في
كلّا من الجدار البيتواني وقضبان التسليح عند قيم الانتقالات
الأفقية التي تم الإشارة إليها سابقاً، حيث تم مقاربة هذه
الانتقالات في ETABS عن طريق أخذ قيم الإجهادات عند
خطوة التحليل ذات الانتقال الأقرب للإنتقال المطلوب.

الجدول (1) قيم (إجهادات فون ميسن، الإجهادات الناظمية، الإجهادات المحورية) ضمن (الجدار البيتوبي، قضبان التسلیح) عند مختلف قيم الانتقالات الأفقية وفق برنامجي ABAQUS، ETABS

| | | | | mm | mm |
|--------------------|-------------|---------|---------|---------|--------|
| | | | Step 22 | Step 29 | Step 3 |
| (MPa) CONCRETE S22 | VO N MIS ES | ABA QUS | 44.1 | 45.2 | 48.3 |
| | | ETAB S | 34.2 | 33.1 | 25.8 |
| | T C | ABA QUS | 2.78 | 2.96 | 2.83 |
| | | ETAB S | 1.68 | 1.33 | 1.1 |
| | ABA QUS | - | - | - | - |
| | | 46.8 | 48.4 | 51.3 | 53.2 |
| | ETAB S | - | - | - | - |
| | | 32.7 | 26.8 | 24.1 | 33.8 |
| | VO N MIS ES | ABA QUS | 502 | 512 | 522 |
| | | ETAB S | 531. | 542. | 548. |

حيث أن:

S22: الإجهادات الناظمية لبenton الجدار (المحورية لقضبان التسلیح).

T: الإجهادات الشادة (Tension)

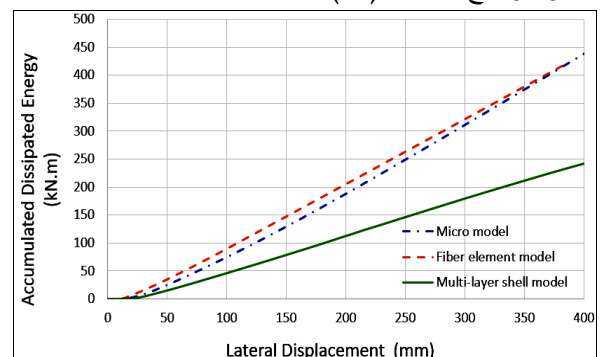
C: الإجهادات الضاغطة (Compression)

بالعودة إلى الشكل (10) والجدول (1) يمكن مناقشة عدة نقاط

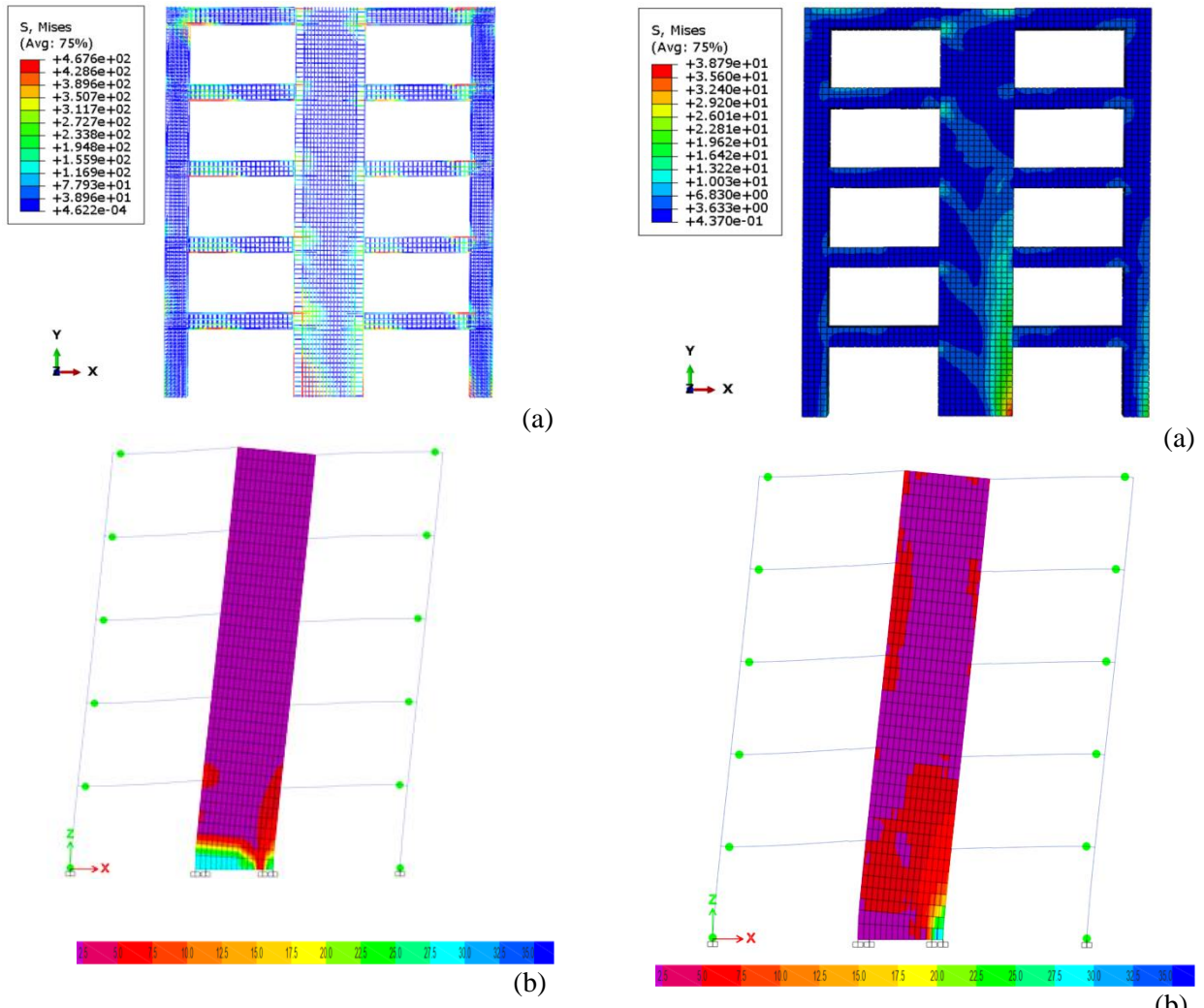
| D=50 mm | D=100 mm | D=150 mm | D=200 mm | | | |
|--------------------|-------------|----------|----------|----------|---------|----------|
| Step 9 | Step 10 | Step 1 | Step 14 | | | |
| (MPa) CONCRETE S22 | VO N MIS ES | ABA QUS | 26.4 | 38.8 | 47.9 | 51.8 |
| | ETAB S | 25.8 | 27.0 | 30.3 | 32.9 | |
| (MPa) STEEL S22 | T C | ABA QUS | 3.05 | 2.95 | 3.03 | 2.88 |
| | | ETAB S | 3.18 | 2.85 | 3.06 | 2.51 |
| (MPa) CONCRETE S22 | ABA QUS | - | - | - | -54 | |
| | | 27.6 | 40.9 | 50.6 | | |
| (MPa) STEEL S22 | T C | ABA QUS | - | - | - | - |
| | | 30.0 | 30.9 | 21.0 | 27.5 | |
| (MPa) CONCRETE S22 | VO N MIS ES | ABA QUS | 413 | 468 | 482 | 493 |
| | | ETAB S | 457. | 476. | 505. | 521. |
| (MPa) STEEL S22 | T C | ABA QUS | 385 | 468 | 482 | 493 |
| | | ETAB S | 457. | 476. | 484. | 521. |
| (MPa) CONCRETE S22 | ABA QUS | -325 | -424 | -444 | -447 | |
| | | ETAB S | -470. | -445 | -456 | -481. |
| | | | D=250mm | D=300 mm | D=350 0 | D=400 00 |

وفق ما يلي:

- يوضح الشكل (11) مقارنة منحني تبديد الطاقة التراكمي بين النماذج الثلاثة المدروسة، حيث يلاحظ التقارب الكبير بالقديم بين النموذج التفصيلي ونموذج الطبقات المتعددة وصولاً لقيمة للانتقال الأفقي متساوية $L = 75$ mm، حيث يشاهد نقطة انكسار واضحة في منحني القدرة ضمن النموذج، بينما أبدى نموذج الطبقات المتعددة مطابقة أكبر بسبب تدن قصبان التسليح بمرحلة أبكر، مما أخر حدوث التلدين ضمن البeton ليحدث عند قيمة للانتقال الأفقي متساوية $L = 150$ mm.
 - ظهر التلدين ضمن البeton في النموذج التفصيلي عند قيمة للانتقال الأفقي متساوية $L = 75$ mm، حيث يشاهد نقطة انكسار واضحة في منحني القدرة ضمن النموذج، بينما أبدى نموذج الطبقات المتعددة مطابقة مطابقة أكبر بسبب تدن قصبان التسليح بمرحلة أبكر، مما أخر حدوث التلدين ضمن البeton ليحدث عند قيمة للانتقال الأفقي متساوية $L = 150$ mm.
 - كان هناك تقارب واضح بين قيم الإجهادات الضاغطة في الجدار البetonوي وصولاً لقيمة للانتقال الأفقي متساوية $L = 50$ mm، كما كان هناك تقارب واضح بين قيم الإجهادات الشادة في الجدار البetonوي من أجل مختلف قيم الانتقالات الأفقية.
 - ظهر التلدين في قصبان التسليح بنموذج الطبقات المتعددة عند قيمة للانتقال الأفقي متساوية $L = 25$ mm (نقطة انكسار واضحة في منحني القدرة)، بينما ظهر بنموذج التفصيلي عند قيمة للانتقال الأفقي متساوية $L = 75$ mm (نقطة انكسار واضحة في منحني القدرة)، وبمقارنة مختلف قيم الإجهادات سواء فون ميسز أو الإجهادات المحورية يلاحظ تقارب القيم بين النموذجين المدروسين ومن أجل كافة قيم الانتقالات الأفقية.
 - تم ضمن هذا البحث مقارنة منحنين الطاقة المبذدة التراكمية بين النماذج الثلاثة المدروسة، حيث تم التركيز على الطاقة المبذدة نتيجة دخول العناصر البetonية المسلحة بمرحلة اللدونة كما هو موضح بالشكل (11).
- يوضح الشكلين (12،13) تلك المقارنة بين النموذجين من أجل انتقال جانبي قدره 100mm ونلاحظ توافق شكل التشوه وأماكن تشكيل المفاصل اللدونة (مناطق تجاوز الإجهاد الحدي للفولاذ والبenton) بشكل جيد بين نموذج الطبقات المتعددة والنموذج التفصيلي ويكون هذا التوافق جيداً في سلوك الفولاذ، بينما نلاحظ اختلافاً واضحاً في سلوك البeton بعد الذروة، نظراً لغياب ظاهرة التلين (softening) في منحني سلوك البeton على الضغط وفق برنامج ABAQUS .
- يوضح الشكل 10 مقارنة مخطط إجهادات فون ميسز في العناصر البetonية.
- يوضح الشكل 11 مقارنة مخطط إجهادات فون ميسز في قصبان التسليح.



الشكل(11) مقارنة منحنين الطاقة المبذدة التراكمية بين مختلف النماذج الثلاثة المدروسة



الشكل(12)مخطط اجهادات فون ميسز في البeton(100mm).
(a) النموذج التفصيلي , (b) وفق نموذج الطبقات المتعددة.

الشكل(13)مخطط اجهادات فون ميسز في الفولاذ (100mm).
(a) النموذج التفصيلي , (b) وفق نموذج الطبقات المتعددة.

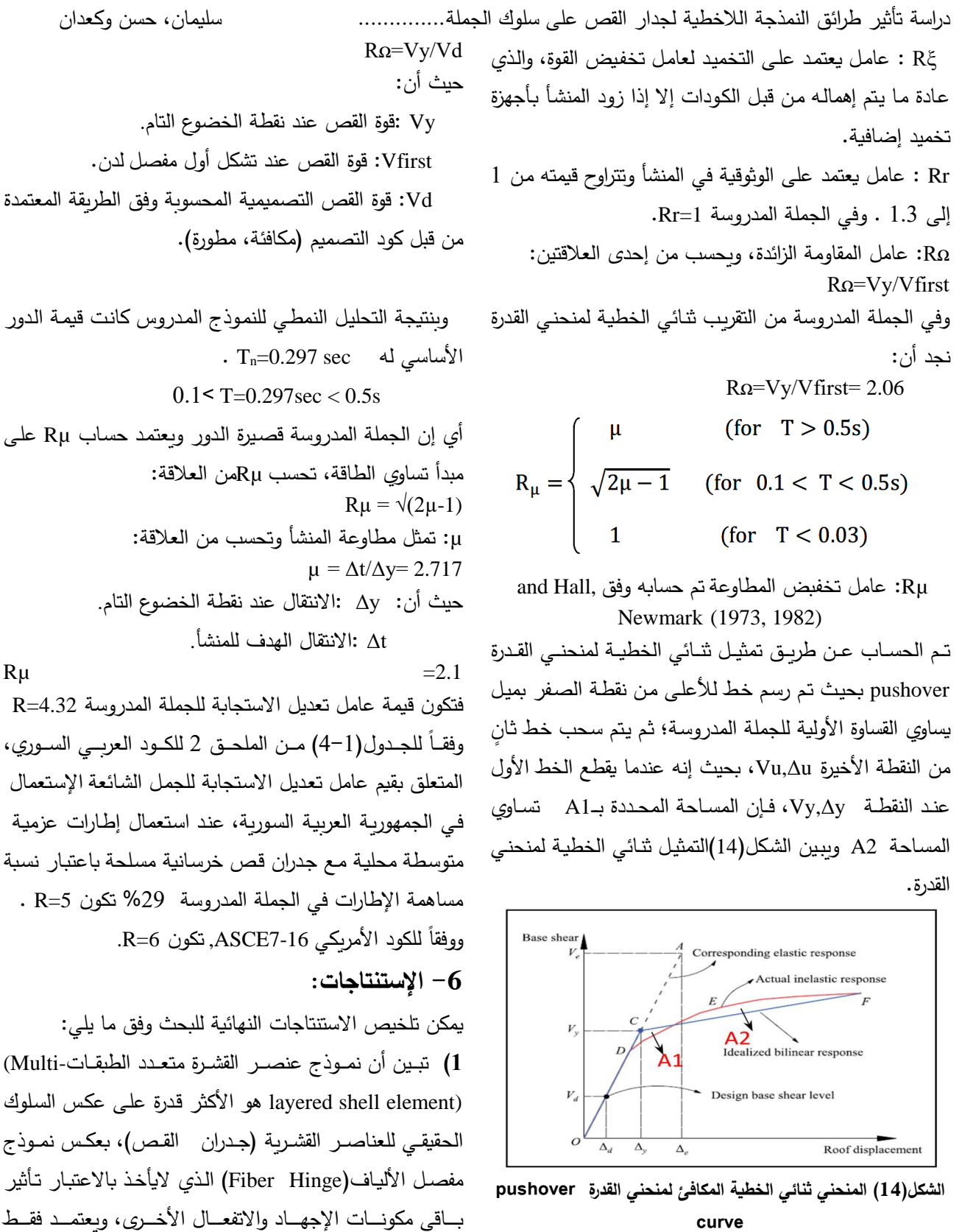
❖ حساب عامل تعديل الاستجابة Response Modification Factor R

- من أجل نموذج القشرة متعددة الطبقات و بالإعتماد على منحني pushover curve (قدرة جانبيه - انتقال جانبي) تم حساب عامل تعديل الإستجابة R بالإعتماد على علاقه ATC-19 :

$$R = R_{\mu} R_{\Omega} R_{\zeta} R_r \approx R_{\mu} R_{\Omega}$$

حيث أن:

- نلاحظ في الخطوات الأخيرة لنموذج الطبقات المتعددة انهيار بيتون الأجنحة، لذلك قام البرنامج بعملية إعادة توزيع للإجهادات على المنطقة الملائمة للجناح، وبالتالي سيتشكل المفصل اللدن عند هذه المرحلة، ويصبح المنشأ غير مستقر جانبياً، ويحدث تناقص كبير في المقاومة والقساوة، بينما لم يلحظ هذا السلوك في العناصر البetonية للنموذج التفصيلي . وفق النموذجين المدروسين كان من الواضح أن انسحاق المنطقة البetonية كان في المناطق الطرفية لجدار القص.



- دراسة تأثير طائق النمذجة اللاخطية لجدار القص على سلوك الجملة
الإجهادات والانفعالات المحورية(شد محوري، ضغط محوري)،
وبالتالي يكون سلوك الليف محكم فقط بمنحي واحد (اجهاد
محوري-انفعال محوري) أو (عزم-دوران).
- التمويل:** هذا البحث ممول من جامعة دمشق وفق
رقم التمويل (501100020595).
- (2) قدرة نموذج الطبقات المتعددة (Multi-layered shell element)
على مقاربة تحديد المنطقة المتشقة من البيتون
بدقة كافية.
- (3) إن نموذج اللدونة للبيتون المتضرر CDP في ABAQUS
لم يتمكن من مقاربة السلوك الحقيقي للمنشأ بعد وصوله لقيمة
المقاومة الأعظمية للبيتون، وذلك بسبب اختيار طريقة التحليل
Static-General التي لا تقوم بمقاربة الحل بعد بلوغ القيمة
الأعظمية لمقاومة البيتون.
- (4) بمقارنة منحنيات الطاقة التراكمية أعطى نموذج القشرة
متعددة الطبقات المنحني الذي يعطي أكبر تبديد طاقة وهذا
نتيجة التلدن الحاصل في البيتون بينما كانت الطاقة التراكمية
في النموذج التفصيلي ونموذج المفاصل اللينة أعلى بكثير.
- (5) لوحظ أن قيمة عامل تعديل الإستجابة للنموذج المدروس
أكبر من القيم الواردة بال kodas مما يستدعي ضرورة إعادة
النظر في هذه القيم.
- (6) تعتبر برامج العناصر المحدودة الخاصة بالتحليل والتصميم
الإنسائي مثل ETABS, SAP خياراً جيداً عند اختيار النموذج
اللاخطي المناسب لتمثيل سلوك المواد والعناصر وخاصة عند
الحاجة لتحليل منشأ بالمقاييس الكامل أي عند دراسة سلوك عام
للجملة أما في حال الحاجة لدراسة سلوك عنصر محدد أو
مراقبة نقطة معينة فينصح بالبرامج البحثية مثل ABAQUS.
- 7- التوصيات (Recommendations):**
- (1) إمكانية اعتماد التحليل الديناميكي الصريح-Explicit-
 ضمن برنامج ABAQUS Dynamic Analysis للوصول
 للسلوك الفعلي للمنشآت وذلك بعد فهم ودراسة هذا التحليل.
- (2) دراسة تأثير الفتل في التواه على عامل تعديل الاستجابة
الزلزالية.

8-References:

Vatanshenas: “Nonlinear Analysis of Reinforced Concrete Shear Walls Using Nonlinear Layered Shell Approach” This is an open access article distributed under the Creative Commons Attribution-NonCommercial-NoDerivs licens. (http://creativecommons.org/licenses/by_nc_nd/3.0/).

ABAQUS, Version 6.19, 2019 - ABAQUS/ Standard User’s Manual, ABAQUS Inc, USA.
Applied Technology Council (ATC). Structural response modification factors (ATC-19). ATC: Redwood City, CA, US; 1995

S. Smith and A. Girgis, “Simple Analogous Frames for Shear Wall Analysis,” J. Struct. Eng., vol. 110, no. 11, pp. 2655–2666, Nov. 1984, doi: 10.1061/(ASCE)0733-9445(1984)110:11(2655).
Carreira,

D., Chu, K. Stress-strain relationship for plain concrete in compression, Journal American Concrete Institute, Vol. 82 no. 6, pp. 797-804.1985
Computers and Structures, Inc. (CSI): “Technical Note Material Stress-strain Curves”.2008, Berkeley, California, USA.

Demir, A., Ozturk, H., Edip, K., Stojmanovska, M., Bogdanovic, A. Effect of viscosity parameter on the numerical simulation of reinforced concrete deep beam behavior , Journal of Science and Technology, Vol. 8, pp. 50-56. July/2018.

F. Rojas, J. C. Anderson, and L. M. Massone, “A nonlinear quadrilateral layered membrane element with drilling degrees of freedom for the modeling of reinforced concrete walls,” Eng. Struct., vol. 124, pp. 521–538, 2016, doi: 10.1016/j.engstruct.2016.06.024
<https://concrete.org/publications/internationalconcreteabstractsportal.aspx?m=details&ID=10309>
<https://www.tojsat.net/journals/tojsat/articles/v08i03/v08i03-09.pdf>

Hussain, Nadeem, Shahria Alam, and Aman Mwafy."Developments in Quantifying the Response Factors Required for Linear Analytical and Seismic Design Procedures." Buildings 14.1 (2024):247.
<https://www.mdpi.com/2075-5309/14/1/247>

M. Keshavarzian and W. C. Schnobrich, “Computed Nonlinear Seismic Response of R/C Wall-Frame Structures,” Univ. Illinois Eng. Exp. Station. Coll. Eng. Univ. Illinois Urbana-Champaign., p. 238, 1984, doi: <http://hdl.handle.net/2142/14123>.

Mander J B, Priestley M J & Park R: “Theoretical stress-strain model for confined concrete”. Journal of structural engineering, No. 144(8), 1988, pp. 1804-1826.

Newmark, N. M. and W. J. Hall, “Earthquake spectra and design,” Engineering Monograph, Earthquake Engineering Research Institute, Berkeley, California,1982 ; Volume1.

سلیمان، حسن وکعدان

دراسة تأثير طائق النمذجة اللاخطية لجدار القص على سلوك الجملة.....

Newmark, N.M.; Hall, W.J. Procedures and criteria for earthquake resistant design. In National Bureau of Standards; No Building Sci. Series No. 46; U.S. Department of Commerce: Washington, DC, USA, 1973.
OriginPro, Graphics and Data Analysis Software, 2018, OriginLab Corporation, Northampton, Massachusetts, USA.

Papanikolaou, Vassilis K., et al. "A MULTILAYER SHELL ELEMENT FOR NONLINEAR ANALYSIS OF R/C SHEAR WALLS." conference Paper · June 2021. COMPDYN 2021

(https://www.researchgate.net/profile/Vassilis_Papanikolaou/publication/353719422)

_A_multilayer_shell_element_for_nonlinear_analysis_of_RC_shear_walls/links/610c2757169a1a0103e21694/A-multilayer-shell-element-for-nonlinear-analysis-of-RC-shear-walls.pdf).

R. W. Clough, K. L. Benuska, and E. Wilson, "Inelastic Earthquake Response of Tall Buildings," 3 rd World Conf. Earthq. Eng. New Zealand. 1965.

S. Chen and T. Kabeyasawa, "Modeling of Reinforced Concrete Shear Wall for Nonlinear Analysis," 12WCEE, Twelfth World Conf. Earthq. Eng. New Zeal, no. 1596, pp. 1–8, 2000.

S. Chen, T. Matsumori, and T. Kabeyasawa, "Simulation of the six-story full-scale wall-frame test," 2007, doi: 10.1061/40944(249)9.

S. Mousavi , Iowa State University "Modeling Reinforced Concrete structural walls with micro scale and macro scale methods" December 2020 International Journal of Engineering and Applied Sciences (IJEAS) 7(12):46-53

S. Otanl, T. KabeyaSawa, H. Shiohara, and H. Aoyama, "Analysis of the Full Scale Seven Story Reinforced Concrete Test Structure," Spec. Publ., vol. 84, pp. 203–239, Oct. 1984, doi: 10.14359/16895.

SAC, Syrian Arab Code, Index2 "Design and Check The Structures under Seismic loads", 2021.

Seyedamin Mousavi, Saeed Tariverdilo. Modeling Reinforced Concrete structural walls with micro-scale and macro-scale methods International Journal of Engineering and Applied Sciences (IJEAS) ISSN: 2394-3661,

Volume-7, Issue-12, December 2020 (Approved by University Grants Commission, India).

Shen Li, Wang-Ge Liang, Dui-Xian Gao and Xiu-zhen Pan, "Response modification factor and displacement amplification factor of K-shaped eccentrically braced high-strength steel frames," School of Civil Engineering and Architecture, Xi' an University of Technology, Xi' an, China.

T. KabeyaSawa, "Design of RC shear walls in hybrid wall system," Fourth Jt. Tech. Coord. Committee, U.S.-Japan Coop. Seism. Res. Compos. Hybrid Struct. Monterey, California. 1997.

T. Takayanagi and W. C. Schnobrich, "Computed Behavior of Reinforced Concrete Coupled Shear Walls," Report No. SRS 434. University of Illinois. Urbana, Champaign. 1976.

<https://books.google.com/books/about/>

Computed_Behavior_of_Reinforced_Concrete.html? id=o3IUtwAACAAJ accessed Nov. 30, 2019).

Y. Belmouden and P. Lestuzzi, "Analytical model for predicting nonlinear reversed cyclic behaviour of reinforced concrete structural walls," Eng. Struct., vol. 29, no. 7, pp. 1263–1276, Jul. 2007, doi: 10.1016/j.engstruct.2006.08.014.